

한국부식학회지

Journal of the Corrosion Science Society of Korea
Vol. 13, No. 3, Sept. 1984.

〈研究論文〉

造船用 普通強度 鋼材의 熔接部位의 腐蝕疲労와
電氣防蝕에 関한 研究

田大熙*, 金垣寧*, 金基俊*, 李義鎮**

* 韓國海洋大學 ** 海軍士官學校

A Study on the Corrosion Fatigue and Cathodic Protection
of the Welded Zone of General Strength Steel

D. H. Jeon, W. N. Kim, K. J. Kim, E. H. Yi

ABSTRACT

The plane bending corrosion fatigue was performed in the air and natural sea water with various conditions on the welded zone of general strength steel plate joined with submerged arc welding.

The main results obtained from the test are summarized as follows:

1. The welded zone of the steel plate has the highest hardness, the noblest electrode potential and the lowest impact strength.
2. The cathodic protection of the welded zone was also effective for the plane bending corrosion fatigue, and the optimum potential of it was -1000 mV SCE.
3. The corrosion fatigue strength under the various stress conditions of the steel plate could be estimated and the require safety factors on the design could be obtained from the plane bending fatigue limit diagram.

記号 説明

C_{eq} : 炭素当量 (Carbon Equivalent)

PcM : 熔接亀裂感受性組成 (Composition of Weld Cracking Susceptibility)

α : 応力集中率, 形状係数 (Factor of stress Concentration)

β : 破断係数 (Factor of Rupture) or 切欠係数 (Fatigue Notch Factor)

η : 応力集中感度 (Notch Sensitivity)

S_s : 安全率 = $\sigma_{ts}/2\sigma_a$ (Safety Factor)

σ_{max} : 最大応力, kg/mm² (Maximum Stress)

σ_{min} : 最少応力, kg/mm² (Minimum Stress)

σ_m : 平均応力, kg/mm² (Mean Stress)

R : 応力比 = $\sigma_{min}/\sigma_{max}$ (Ratio of Stress)

σ_a : 応力振幅, kg/mm² (Stress Amplitude)

σ_yo : 降伏強度, kg/mm² (Yield Strength)

σ_{ts} : 引張強度, kg/mm² (Tensile Strength)

σ_s : 剪断応力, kg/mm² (Shearing Stress)

ρ : 노치 루우트 曲率半径, mm (Notch Root Radius)

t : 노치 길이, mm (Notch Length)

BM : 母材部 (Base Metal)

HAZ : 热影響部 (Heat Affected Zone)

WM : 熔着部 (Weld Metal)

- S : 反復平面 굽힘应力, kg/mm² (Repeated Plane Bending Stress)
- Nf : 破壊될 때까지의 Cycle数 (Number of Cycles to Fracture)
- x : 試片固定部에서 노치까지의 거리, mm (Length from Fixing Point of Specimen to the Notch)
- l : 試片固定部에서 应力附加点까지의 거리, mm (Length from Fixing Point of Specimen to the Stress Point)
- Z : 断面係数 (Modulus of Section)
- E : 强率, kg/mm² (Young's Modulus)
- I : 断面 2次 모멘트 (Moment of Inertia of Area)
- WWNNA : Welded Notched Alternative Stress Specimen (in the Air)
- WWNNP : Welded Notched Pulsative Stress Specimen (in the Air)
- WWNNAOP : Welded Notched Alternative Stress No-Protected Specimen (in the sea water)
- WWNNPOP : Welded Notched Pulsative Stress No-Protected Specimen (in the sea water)
- WWNNACP : Welded Notched Alternative Stress Cathodic Protected Specimen (in the sea water)
- WWNNPCP : Welded Notched Pulsative Stress Cathodic Protected Specimen (in the sea water)
- WWNNPP : Welded Notched Partial Pulsative Stress Specimen (in the air)
- WWNNPPCP : Welded Notched Partial Pulsative Stress No-Protected Specimen (in the sea water)
- WWNNPPCP : Welded Notched Partial Pulsative Stress Cathodic Protected Specimen (in the sea water)

I. 序 論

近年부터 생긴 船舶의 大型化 趨勢에 따라 高張力鋼材가 造船用으로 많이 採用되는 새로운 傾向^[1-2] 이 생겨났다. 그러나 中·小型船에는 經濟的 事情 등에 의해서 如前히 從來와 같은 普通強度鋼材를 使用하는 境遇가 많다.

普通強度 鋼材는 高張力鋼材에 比해서 機械的 強度가 弱하나 熔接性과 工作性이 좋고, 腐蝕疲労나 水素脆化 등의 感受性이 낮으므로 船舶을 建造하기 쉽고, 運航管理하기도 容易하다. 그러므로 高張力鋼材는 여러가지 實用環境中の 몇몇 単的條件에서나마 機械的 性質과 電氣化學的 特性^[3-10] 등이 調査되어 있으나, 普通強度鋼材를 採用한 境遇는 實用研究의 結果가 거의 発見되지 않는다.

實際 造船에 있어서 SM41鋼材를 採用할 境遇는 船體外板의 負荷條件에 거의 구애되지 않고, 只今까지의 經驗에 의해서 安全率을 4로 잡고, 設計強度를 10kg/mm² 으로 計算하고 있다. 그러나 經濟的인 造船이 要求되는 現今에서 安全率 4는 適正한가, 또 船體의 全外板에 대해 이 安全率을 均一하게 適用되어야 하는가 등은 再検討되어야 할 問題라고 생각된다.

船舶의 實際 運航條件에서 船體가 가장 損傷되기 쉬운 部分은 熔接缺陷이 생기기 쉽고 또한 腐蝕疲労가 일어나기 쉬운 熔接連結部이기 때문에, 本 研究는 前報의 研究^[1]에 이어서 造船用 普通強度鋼材의 熔接部位의 腐蝕疲労와 電氣防蝕의 関係등에 대해서 研究했다.

2. 試験片과 實驗方法

2.1. 供試鋼材와 試験片

이 試験에 使用된 供試鋼材는 두께 6mm의 40kg/mm² 級 国產 熔接構造用压延鋼材이다. 이 材料는 化學的 組成과 機械的 性質이 Table 1 및 2와 같이 对比되고, 이는 韓國工業規格(KS) SM41鋼(普通強度鋼)이나 韓國船舶協會規格(KR) RD鋼^[20]의 相當品임을 알 수 있다.

疲労試験片은 그 길이 方向이 鋼材의 壓延方向과 同一하도록 供試鋼板에서 切取한 다음 서브머어지도 아다크熔接(Submerged Arc Welding)으로 맞대기 熔接을 兩面에서 하여, 다음의 規格試験片를 만들었다. 여기에서 서브머어지도 아다크熔接法을 採択한 理由는 只今 各 造船所에서 甲板이나 外板의 熔接에 이 熔接法이 多이 採用되고 있고, 또한 가장 確実하게 熔接되기 때문이다. 따라서 試験片 熔接時에도 實際 造船所에서 實施하는 熔接條件에 맞추어 熔接하였다. Table 3은 이 試験片의 熔接條件이다.

規格試験片의 型과 치수는 熔接試験片의 兩面을 각各 1mm씩 平削해서 4.00±0.01mm 두께로 만든 다음에 金屬平板의 平面굽힘 疲労試験法(JIS-Z-2275-1978)의 1-30호 試験片으로 加工하였다. 그리고, 試験片의 試験部

Table 1. Chemical Compositions of the Steel (%)

Kinds of Steel	C	Si	Mn	P	S	Ceq*	PcM**	Remarks
SM41 BASE	0.20	0.31	0.65	0.04	0.007	0.308	0.242	Speciman
KS SM41	<0.22	<0.35	0.9 — 1.40	<0.04	<0.04	<0.38	<0.26	
KR RD	<0.21	<0.35	0.6 — 1.40	<0.050	<0.050	<0.37	<0.26	
Weld Metal	0.185	0.32	0.67	0.008	0.01	0.296	0.217	

* Ceq (%) = C + Mn/6, ** PcM = C + Si/30 + Mn/20

Table 2. Mechanical Properties of the Steel (20°C)

Kinds of Steel	Yield Point (kg/mm ²)	Tensile Strength (kg/mm ²)	Elongation (%)	Impact* Strength (kg-m)	Remarks
SM41 BASE	34	46	27	4.45	Speciman
KS SM41	>25	41~52	>19	>4.8	
KR RD	>24	41~50	>22	>4.8	
Weld Metal	39.78	50.54		3.258	

* Charpy Impact Test

Table 3. Welding Conditions (Submerged Arc Welding)

Welding Wire (φ : mm)	Face	Voltage (V)	Ampere (A)	Speed (cm/min)	Heat**	Remarks
					Impact (KJ/cm)	
AWS-F	Face	30	400	50	14.4	DAIDEN GI-BS
71-EH-14	Back					Submerged
UL-36 (3.2)	Face	34	420	55	15.58	Arc Welding

* 0.15C - 1.52Mn - 0.32Si - 0.13P - 0.015S

** Heat Impact = $\frac{60EI}{v}$ (J/cm) (v: Welding Speed, cm/min)

에는 다시 幅 0.25mm, 厚さ 2.00mm의 노치(Notch)를 加工하였다. 또한 試験片 表面을 샌드 페이퍼(Sand Paper) 1200番까지로 研磨하고 알콜 및 아세톤으로 脱脂한 다음에 試験하였다.

Fig. 1은 同 試験片의 形狀과 치수이다.

2.2. 疲労試験装置

이 研究에 使用된 疲労試験装置는 平面弯曲式으로서 Fig. 2와 같이 偏心器에 의해 任意의一定한 平面弯曲应力(Plane Bending Stress)을 反復해서 加할 수 있도록 되어 있다. 뿐만 아니라, 变速이 可能하고, 4個의 試験片에 대해 同時に 兩振, 片振 및 部分片·兩振

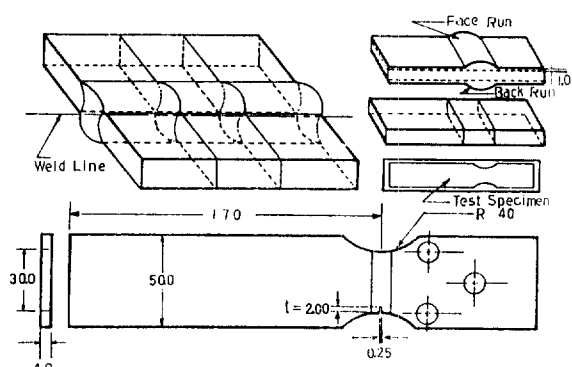


Fig. 1 Dimensions of Test Specimen (Unit: mm)

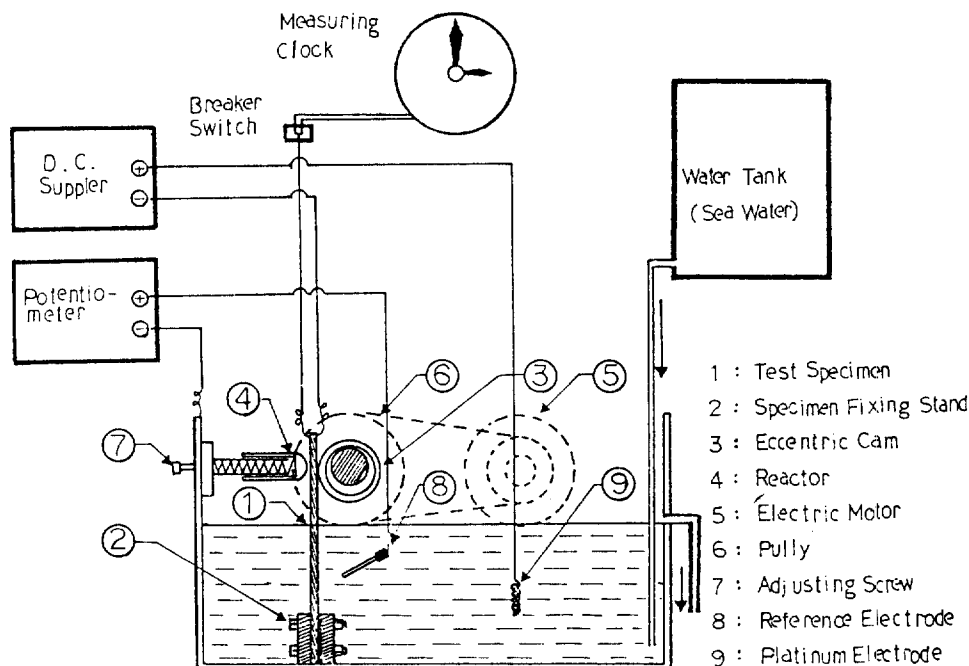


Fig. 2 Schematic Diagram of Plane Bending Tester

의 疲労試験도 할 수 있도록 自作한 것이다. 또한, 이 試験機는 大氣中에서나 水中에서 疲労試験을 할 수 있고, 水中試験의 경우는 各種 電位로 電氣防蝕을 하면서 도 疲労試験을 할 수 있도록 되어 있다. 이러한 裝置를 3卓製作하였으므로 同時に 12個의 試験片을 試験할 수 있다.

電氣防蝕에는 50V, D.C. 2A의 定電圧 装置와 Pb-Ag系 不溶性 陽極을 使用하였으며, 電極電位의 測定에는 飽和カルモ電極(SCE)과 高抵抗 電圧計(内部抵抗:

$10^7 \Omega/V$)를 使用하였다. 試片의 疲労破斷까지의 反復応力回数는 電氣時計에 ブ레이크 스위치(Break Switch)를 附着해서 試片이 破斷되는 순간까지의 時間を 測定해서 計算하였다. 그리고, 이 試験機의 試片固定部 및 水槽内部는 亜鉛プライマー(Zinc Primer)를 2回 塗装한 後, 絶縁性 エポシタール塗料를 2回 塗装하고, 그 위에 水槽部는 다시 FRP로 2mm 두께로 라이닝(Lining) 하므로써 防蝕電流가 試験片에 많이 集中하도록 した. Photo 1은 本 試験装置의 配置図이다.

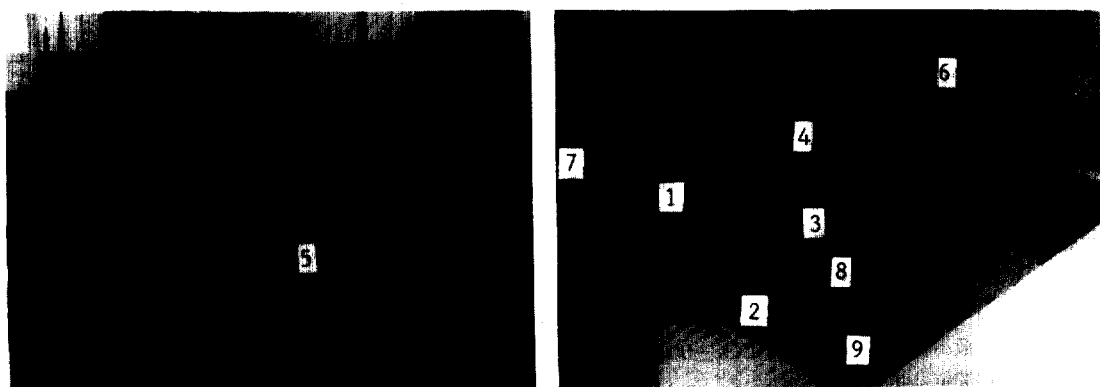


Photo 1. Experimental Equipment of Plane Bending Fatigue Test

2.3. 疲労試験條件

이研究에서 試験片의 鉗撓応力疲労試験은 다음 條件에서 實施하였다.

(1) 實際 船舶의 船体는 파도 등에 의해서 每分當 6~12회(0.1~0.2Hz)의 片振反復鉗撓応力を 受けている部分이 많고, 部分에 따라서는 兩振이나 部分片振 및 部分兩振의 応力を 受ける 곳도 있다. 그러나 이 反復鉗撓速度는 實驗하기에 너무 느린 speed이므로, 이研究에서는 850 cpm(14.2Hz)으로 加速해서 疲労試験을 實施하였다. 따라서, 이러한 加速實驗에서 얻어진 疲労限度(疲労限界強度)는 實際 보다 약간 높을 것으로 予想된다.

(2) 船体鋼板을 熔接할 때는 그 熔着部에 熔接缺陷(微細龜裂 또는 未接合部 등)이 생기기 쉽고, 이 곳에 応力集中이 일어날 것으로 假想되므로 試験片의 試験部에 幅 0.25mm, 길이 2.00mm의 노치(Notch)를 加工해서 応力集中이 일어나는 條件에서 實驗하였다.

(3) 海水中에서 船体는 電氣防蝕하는 것이 通例이므로 試験片은 自然電位(無防蝕) 및 -800mV, -1,000mV,

-1,200mV, -1,400mV(SCE)의 各 電位로 分極시켜 電氣防蝕한 狀態下에서 疲労限度를 測定 比較하였고, 大氣中の 疲労試験結果와도 比較하였다.

(4) 腐蝕液은 Table 4와 같은 天然海水를 使用하였으며, 試験中 물의 蒸発 및 監素ガス의 発生 等을 考慮하여 一定한 速度로 海水를 계속 供給하는 한편, 同量의 海水를 排出시키는 方法을 使用하였다. 그리고 試験中 水温은 10~15°C의 範囲였다.

(5) 疲労試験은 連 186時間 以上的 期間을 通해서 10⁷回까지 反復応力を 계속 加해서 鉗撓疲労시켜도 破断되지 않는 上限值의 疲労強度를 測定해서 試験片이 그 負荷에서 破断되지 않는 所謂 疲労限度強度로 看做하는 高사이를 疲労限度를 採択하였다. 實驗中の 試験中断은 停電 등의 不得已한 事由가 있을 때에 限하고, 그 運中断時間이 2時間(10⁷回 時間의 約 1%)을 超過할 때에는 再試験하였다.

(6) 疲労試験에서 鉗撓応力 σ_b 는 다음과 같이 求하였다. 即 鉗撓 变形量 $\delta = P\ell^3/3EI$ 에서 荷重 $P = 3EI/\ell^3$ 이고 軟鋼의 強率 E 는 $2.10 \times 10^4 \text{ kg/mm}^2$ 程度이므로

$$\sigma_b = 1.5 E \delta t(\ell - x)/\ell,$$

Table 4. Qualities of Sea Water for the Experiment

Hardness (ppm, CaCO ₃)	M-Alkalinity (ppm, CaCO ₃)	Cloride (ppm, Cl ⁻)	Specific Resistance (Ω - cm)	Specific Weight	Temp. when Water Test
4,500	85	16,800	26.7	1,025	18

3. 測定結果와 考察

3.1. 熔接部位의 機械的 및 組織的 特性變化

Fig. 3(A)는 試験片의 熔接部位에 따라 샤르피(Chapry)衝擊試験을 한 結果이고, Fig. 3(B)는 同 部位에 대해서 硬度分布와 電極電位分布(5% HNO₃, + 1% FeCl₃, 混液을 滴下해서 鮎和칼로멜 電極으로 測定)을 測定한 結果이다. 또 Photo. 2는 同 試験片의 各 熔接部位에 대해서 5% 나이탈로 腐蝕시킨 後의 200倍의 顯微鏡組織寫真이다.

이들의 結果를 綜合하면 熔着部가 最低의 衝擊強度를 나타내고 있고, 母材部가 가장 높으며, 热影響部는 그 中間의 強度를 나타낸다. 이에 反해서 硬度分布와 電位分布는 熔着部가 最高值, 母材部가 最低值를 나타내며, 热影響部가 그 中間值이다.

이와 같은 特性變化는 熔接時의 热影響에 의해서 P-

hoto. 2에서 보는 바와 같이 熔着部는 Dendrite 組織이 發達되고, 热影響部는 熔接時의 热사이클에 의해 組織이 粗大化되어 있으며, 또한 多量의 마르텐사이트(Martensite) 組織이 나타나 있는 것에 起因된다. 그리고 熔着部의 電位가 가장 貴한 것은 熔接棒의 電位가 母材보다 貴한 材料를 使用한 結果이며, 이는 防蝕의 面에서 바람직한 것이다.

3.2. 疲労電裂의 伝播와 破壊驅動

Photo. 3(A)는 試験片의 노치部에서 龜裂이 發生해서 疲労破壊된 表面을, 同(B)는 그 断面을 보이고 있다. 大氣中的 경우와 海水中에서 電氣防蝕한 경우는 同図 ①②③과 같이 破断線이 单順한 線状이나, 海水中에서 無防蝕의 경우는 同図 ④⑤와 같이 톱니와 같은 날카로운 非線状이다. 이것은 無防蝕試験片의 破断線 兩側表面에 작은 蝕孔이 많이 생긴 点으로 보아서

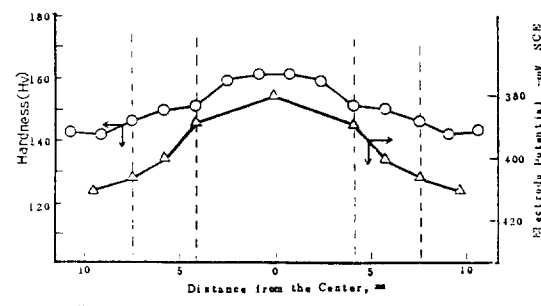
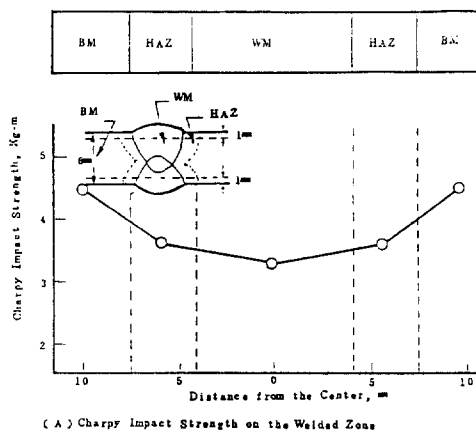


Fig. 3 Mechanical Properties and Electrode Potential on the Welded Zone of SM41 Steel

BM	HAZ	WM	
(A)	(B)	(C)	(D)

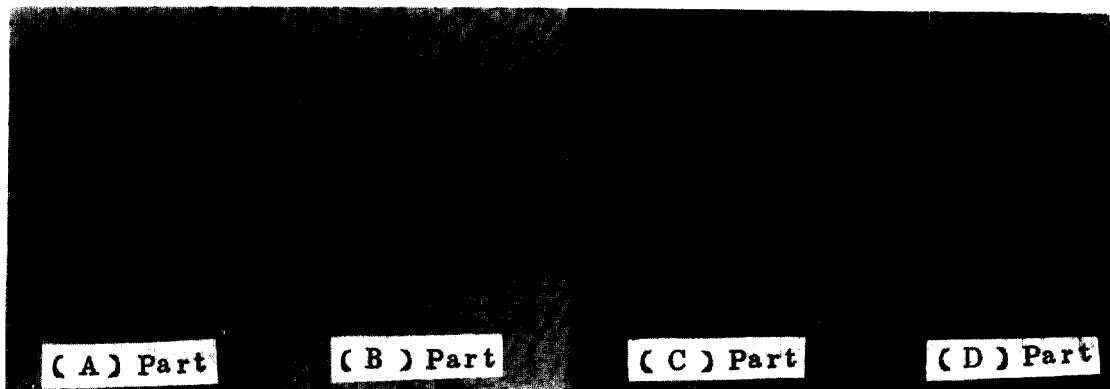


Photo 2. Microstructures on the Welded Zone of SM41 Steel

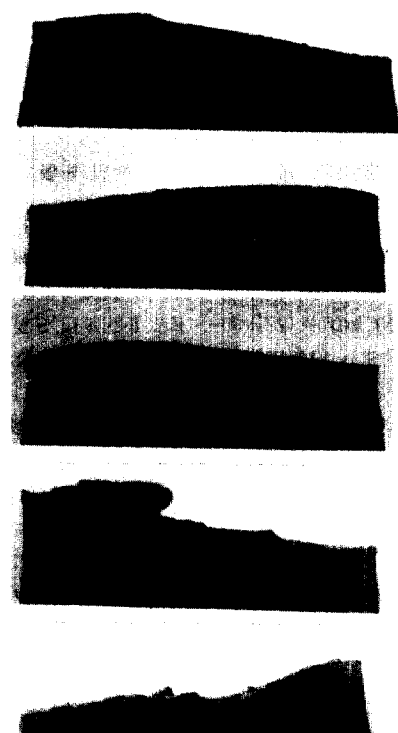
①②③의 경우는 純 機械的인 疲勞破壞이나 ④⑤의 경우는 疲勞와 腐蝕의 兩者가 相乘作用함으로써 短 간 現象으로 보여진다.

Fig. 4는 片振과 兩振에서 疲勞破斷의 進行機構를 나 타내고 있다.

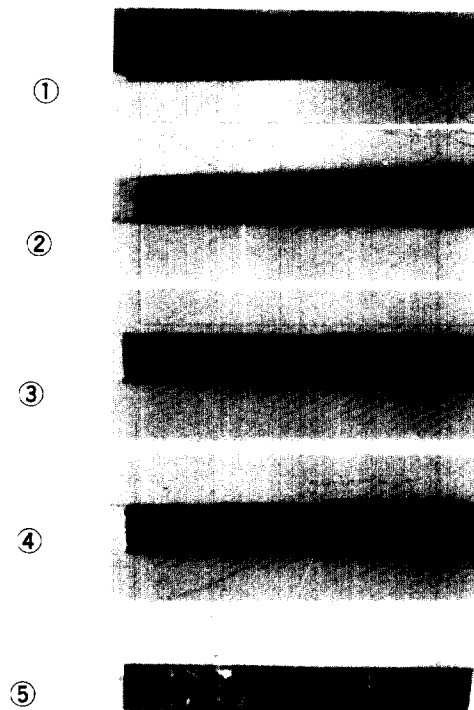
3.3. 疲勞限度에 미치는 陰極防蝕의 影響

Fig. 5~7은 供試鋼의 熔接試驗片에 대해서 空氣中 및 海水中的 無防蝕과 陰極防蝕의 여러 가지 條件下에서 각各 兩振, 片振 및 部分片振으로 疲勞시켰을 때 実測한 S-Nf 線圖를 表示한다. Fig. 8은 Fig. 5 및 6의 資料에 의해서 腐蝕疲勞限度에 미치는 陰極防蝕의 影響을 表示한 것이다.

이들의 実測結果에 의하면, 海水中的 試驗片에 대해서 陰極防蝕하면 兩振, 片振 및 部分片振의 어느 경우나 疲勞限度強度가 大大增加되나, 陰極 防蝕電位가 낮아질수록 S-Nf 直線의 기울기가 작아지므로 高負荷의 広力下에서는 時間強度가 比較的 낮다. 또 Fig. 8에 의하면 試驗片을 陰極防蝕하면 -800mV SCE 程度로 防蝕해도 兩振이나 片振의 어느 경우도 大氣中의 疲勞限度強度와 対等한 程度로 높아지고, -1000mV SCE 로 防蝕하면 그 強度가 더욱 높아지며, -1400mV SCE 로 防蝕해도 強度는 거의 變化하지 않는다. 이 普通强度鋼材의 疲勞限度가 前報의 高張力鋼材와 겉이 -1400

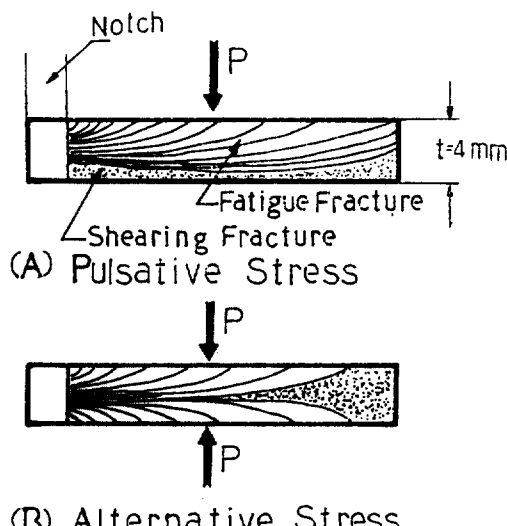


(A) Surface



(B) Cross Section

Photo 3. Surface & Cross Section of Cracked and Fractured Specimen



(B) Alternative Stress

Fig. 4 Macrographs of Crack Development in Side Direction

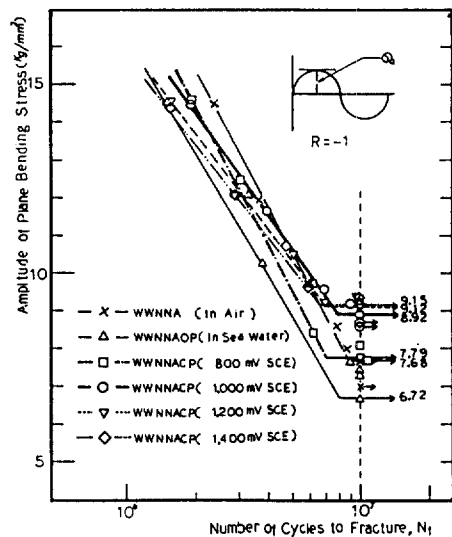


Fig. 5 Comparision of S-Nf Diagram of Alternative Stress Fatigue Test

mV SCE의 저防蝕電位에서 낮아지지 않는理由는 이鋼이 高張力鋼에 比해서 水素脆性 등에 대해서 더 鈍感하기 때문이라고 생각된다.

實際 海水中에서 船体의 陰極防蝕은 $-850 \sim -950$

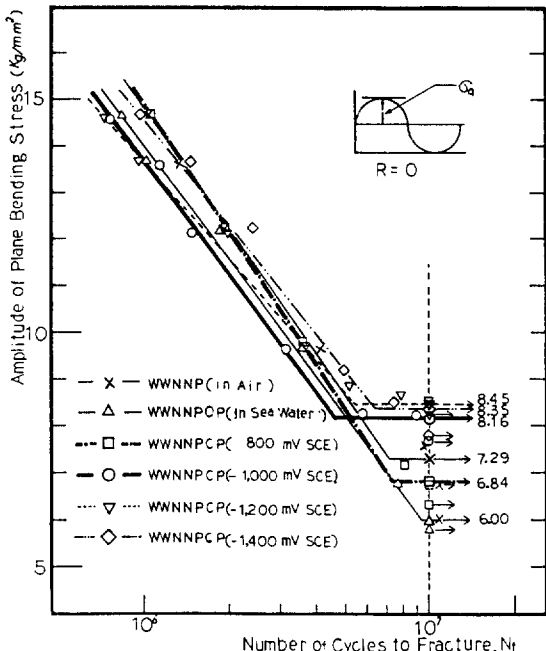


Fig. 6 Comparision of S-Nf Diagram of Pulsative Stress Fatigue Test

mV SCE의 電位를 維持하고 있으므로 船體電位를 $-800 \sim -1,000 \text{ mV SCE}$ 로 維持한다는 것은 船體의 腐蝕防止 뿐만 아니라 腐蝕疲勞防止를 為해서도 適用하여야 할 電位라고 생각된다.

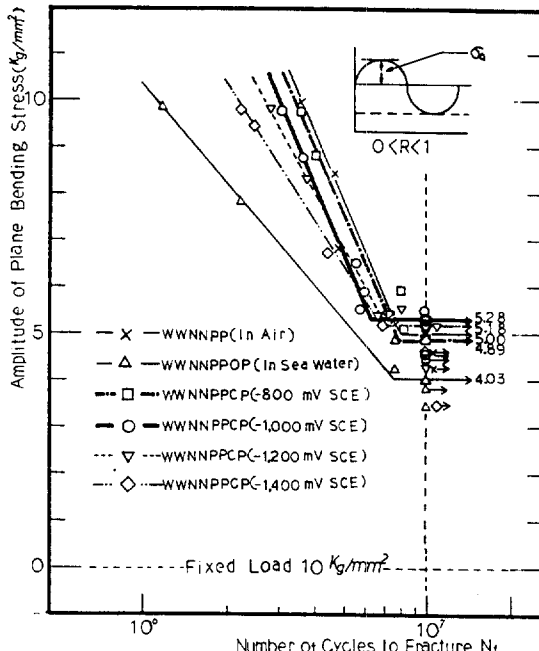


Fig. 7 Comparision of S-Nf Diagram of Partial Pulsative Stress Fatigue Test

3.4. 腐蝕疲勞限度線図와 安全率

Fig. 9는 本 熔接試験片에 대해서 여러가지 條件下에서 実測한 Fig. 5~7의 疲勞限度強度에 의해서 作成한 腐蝕疲勞限度線図이다. 이 線図는 縦軸에 応力振幅(σ_a)을, 橫軸에 平均応力(σ_m)을 註記하고 있으며, 作図要領은 다음과 같다.

①両振은 平均応力이 零이고 応力比(R)가 -1° 振動이므로 各 條件下에서 実測한 両振腐蝕疲勞限度의 応力振幅을 縦軸上(平均応力이 零)에 註記한다.

②片振은 平均応力과 振幅이 同一하고 応力比가 零인 振動이므로 各 條件下에서 実測된 片振腐蝕疲勞限度의 応力振幅을 座標原点에서 橫軸에 対해서 45° 되게 그은 直線上에 註記한다.

③部分片振은 一定한 負荷를 받고 있는 狀態에서 片振시키는 것이다. 本 試験에서는 固定負荷로 10 kg/mm^2 을 取하였으므로 이 條件에서 実測한 部分片振腐蝕疲勞限度의 応力振幅을 平均応力이 10 kg/mm^2 이고 応力振幅이 零인 点에서 橫軸에 対해서 45° 되게 그은 直線上에 註記한다.

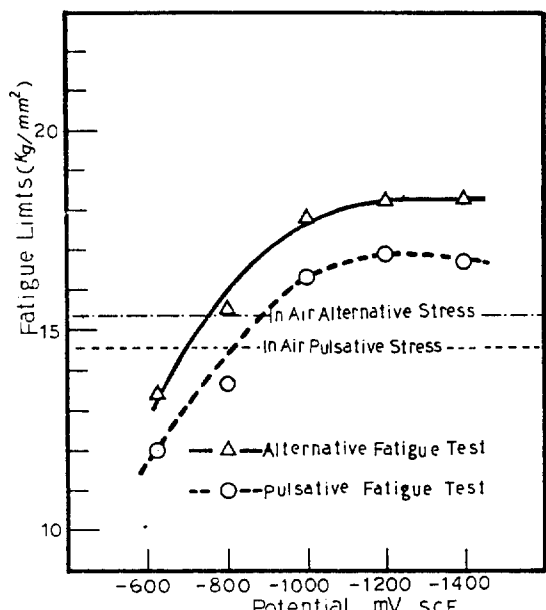


Fig. 8 Comparison of Fatigue Limit Strength in each Cathodic Protection Condition

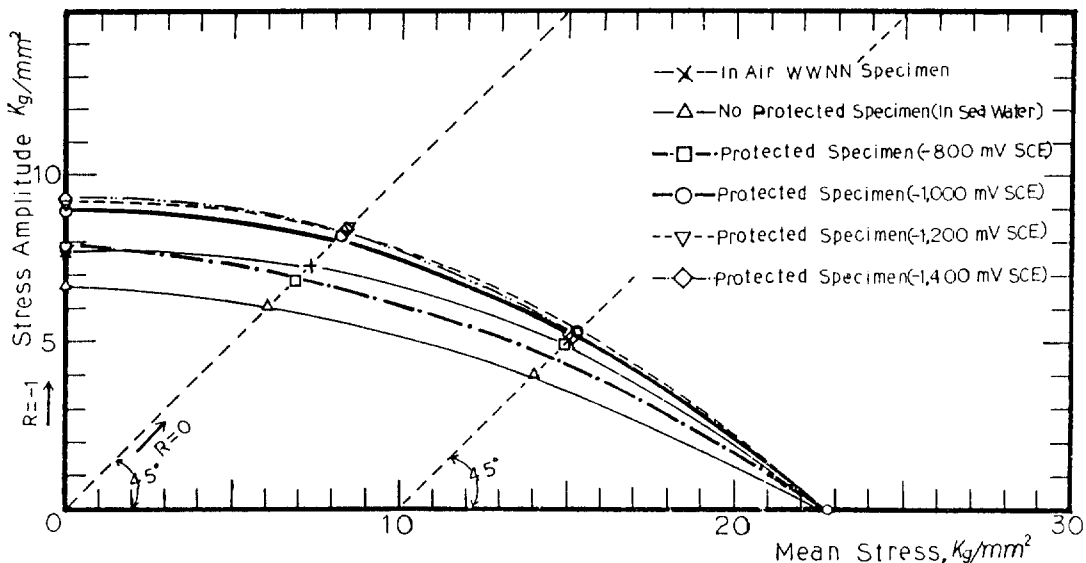


Fig. 9 Plane Bending Fatigue Limit Diagram of Welded Zone SM41 Steel

④ 平均応力を 나타내는 橫軸上에 剪断应力 (σ_s)를 잡는다. 이剪断强度는 最大剪断에너지理論²¹⁾에 의해서 $\sigma_s = 0.577 \sigma_{sp}$ 로 計算되며, 試験片의 試験部(熔着部)의 降伏强度 σ_{sp} 가 39.78kg/mm²으로 测定되었으므로剪断强度는 22.95kg/mm²으로 計算된다.

⑤ 以上의 4 단계에서 잡은 각 実測点을 各腐蝕·防

蝕條件別로 連結한다. 이 各連結線의 下側이 各各腐蝕·防蝕條件下에서 試験片이 腐蝕疲労하지 않는 安全区域이다.

이腐蝕疲効限線圖가 表示하는 限界强度로 設計한다면 이 試験片의 実測引張强度가 46.0kg/mm²일 때 安全区은 Table 5와 같이 된다.

Table 5. Safety Factors ($S_f = \sigma_{ts}/2\sigma_a$) of Welded Zone

Protection Potential (mV SCE)	Alternative Stress (Fatigue Limit, kg/mm ²)	Pulsative Stress (Fatigue Limit, kg/mm ²)	Partial Pulsative Stress at Fixed Load, 10kg/mm ² (Fatigue Limit, kg/mm ²)
625 (No Protection)	3.423 (13.44)	3.83 (12.0)	5.707 (8.06)
800	2.950 (15.59)	3.352 (13.723)	4.607 (9.984)
1,000	2.536 (18.14)	2.819 (16.32)	4.356 (10.56)

実際 鋼船의 外板을 設計할 때 鋼材의 設計强度는 SM41鋼에 대해서 均一하게 10kg/mm²을 採用하고 있고, 그 때 安全区은 約 4가 된다. 이 安全区을 Table 5와 对照해서 볼 때 이 外板의 設計强度는 無防蝕 片振腐蝕疲効時의 強度를 採用하고 있다는 것을 알 수 있다. 그러나, 船体는 -800~-1,000mV SCE로 電氣防蝕하는 것이 例이므로 SM41鋼級의 普通強度鋼材로 造船하는 境遇의 安全区은 本 测定值가 加速試験의 結果라 하더라도 各部位의 負荷條件에 따라 3~3.5를 抱持도充分하니고 생각된다.

따라서 Fig. 9의 腐蝕疲効限線圖는 造船鋼材로 SM41鋼을 使用하는 境遇에 負荷條件에 따라서 採用하게 되는 設計强度는 얼마로 하고, 그 때 安全区은 얼마이며, 또 適正防蝕電位는 얼마로 할 것인가 등을 決定하는데 実用指標로 利用될 수 있겠다.

4. 結論

서브마리지드 아야크熔接을 한 SM41鋼級의 普通強度鋼材의 熔着部에 대하여 空氣中 및 天然海水中의 여

여기서 조건下에서 평면구멍疲勞試驗을 実施해서 다음의 結論을 얻었다.

(1) 이 鋼材의 熔接部位에서 熔着부가 가장 높은 硬度를 나타내나, 衝擊強度는 가장 낮으며, 電極電位는 가장 貴하다.

(2) 天然海水中에서 熔接部位를 險極防蝕하면 無防蝕時 보다 腐蝕疲勞限度가 많이 높아진다. 그 強度는 -800mV SCE程度로 防蝕할 때 大氣中에서의 疲勞限度까지 上昇하고, 防蝕電位를 -1,000mV SCE까지 낮추면 腐蝕疲勞限度가 더욱 커지나 그 以下로 낮추어도 別變化가 없다.

(3) 이腐蝕疲勞限度線圖는 SM41 鋼材를 造船用으로 使用할 때 負荷條件과 防蝕條件에 따라서 設計強度를 얼마로 할 것인가를 決定하는데 実用指標로 利用될 수 있다.

〈謝 禮〉

本研究에 研究費를 支援하여 주신 韓國科学材團, 材料試驗을 協助하여 주신 韓國重工業 中央試驗所 및 試驗片 熔接에 労苦가 많았던 大鮮造船所의 여러분에게 深甚한 謝意를 表한다.

參 考 文 獻

- 1) 木山 榎：高張力化, 耐環境化を指向する厚板, 金屬, **45**, 1, p. 35, 39~42(1975)
- 2) 韓國船級協會：船級 및 鋼船規則, 第301條, 船体用压延鋼材, p. 50~55(1981)
- 3) I. Geld, M. A. Acampora : A Factor in Hydrogen Embrittlement of Cathodically Protected Steel in Sea Water, Mater. Prot., **7**, 11, p. 31~34 (1968)
- 4) P. E. Hudson, et al : Absorption of Hydrogen by Cathodically Protected Steel, Corrosion, **24**, 7, p. 187~196 (1968)
- 5) 酒井利一郎：高張力鋼熔接部においての応力腐蝕亀裂とその軽減策, 防蝕技術, **16**, 7, p. 303~308(1968)
- 6) NACE Standard TM-01-77: Testing of Metal for Resistance to Sulfide Stress Crack - ing at Ambient Temperature, Metal Performance, **16**, 9 (1977)
- 7) 松島 岩：硫化物応力腐蝕割れの電気化学, 防蝕技術, **18**, 4, p. 139~146 (1968)
- 8) 永井歎一郎：高張力鋼の熔接部, 热影響部の腐蝕疲労強度に対して, 日本溶接学会誌, **40**, 1, p. 68~70 (1970)
- 9) 益本 功ら：鋼材及び熔接継手の 3% NaCl水溶液腐蝕疲労に対する研究(I), 日本溶接学会誌, **44**, 3, p. 60~64(1975)
- 10) 平川, 北浦：溶接継手の低速度腐蝕疲労強度, 日本溶接学会誌 77年 講演集 S. 756.
- 11) 中野・青木・金尾：SERTによる高張力鋼の水素脆性感受性の評価, 日本溶接学会 79年講演集 S. 918
- 12) 角田・丸山・内山：各種高張力鋼の海水中での腐蝕疲労き裂伝播挙動, 鉄と鋼, 第12号, p. 77~86 (1980)
- 13) 田 大熙・金 鎮京：海洋構造物用 HT 50 高張力鋼의 熔接部位의 環境에 따른 크래크伝播特性에 関한 研究, 韓國海洋大學論文集, 第2輯, p. 137~153 (1983)
- 14) 南・高田：軟鋼의腐蝕疲労と陰極防蝕, 防蝕技術, **7**, 6, p. 26~27(1958)
- 15) Hooper Hartt : The Influence of Cathodic Polarization upon Fatigue of Notched Structural in Sea Water, Corrosion, **34**, 9, p. 320~323(1978)
- 16) 中野・青木・金属：電気防蝕された高張力鋼の破壊の様相, 日本溶接学会 79年講演集 S. 919.
- 17) 遠藤吉郎：腐蝕疲労, 防蝕技術, **26**, 10, p. 583~592 (1977)
- 18) 駒井諱治郎：腐蝕疲労に関する最近の諸問題, 防蝕技術, **26**, 10 p. 594~605 (1977)
- 19) D. H. Jeon, W. N. Kim, K. J. Kim, E. H. Yi : A Study on the High Tensile Strength Steel used for the Shipbuilding, Journal of the Corrosion Science Society of Korea, **11**, 2, p. 9~16, June, (1982)
- 20) 前掲書(2)p. 53
- 21) 西田正孝：応力集中, p. 184, 森北書房(1973)